

Таким образом, изучение динамики циркуляции антистолбнячных антитоксинов в эксперименте показало, что повторные внутривенные введения гомологичных антитоксинов у всех животных увеличивают уровень антител и удлиняют сроки их циркуляции, тогда как при повторных инъекциях гетерологичного антитоксина укорачиваются сроки циркуляции антител.

Выводы

- Повторные внутривенные введения гомологичных антистафилококковых и антистолбнячных антитоксинов, проведенные в период снижения уровня антител в сыворотке крови, приводят к увеличению содержания соответствующих антитоксинов и удлинению времени их циркуляции у всех животных, что, вероятно, связано со скоростью их поступления и накопления в крови и с эффекторными функциями антител.

- Гомологичные антитела обладают выраженными преимуществами перед гетерологичными, особенно при многократном последовательном введении, что выражается в более высоких уровнях содержания антител и длительности их циркуляции.

E. A. Fedorovskaya, L. V. Nazarchuk

CIRCULATION DYNAMICS OF ANTISTAPHYLOCOCCAL AND ANTITETANIC ANTIBODIES IN INTRAVENOUSLY PASSIVELY IMMUNIZED RABBITS

Circulation dynamics of antistaphylococcal and antitetanic antitoxins (homologous and heterologous) is studied when their levels are decreasing in the case of single and multiple intravenous injection. Repeated injections of homologous antitoxins increase the content of antibodies in the blood serum of animals and prolong the period of their circulation. Homologous antibodies possess pronounced advantages over the corresponding heterologous ones.

Institute of Hematology and Blood Transfusion, Kiev

- Правильное использование иммуноглобулинов человека в клинической практике // Бюл. ВОЗ.—1982.—60, № 1.—С. 20—25.
- Федоровская Е. А., Назарчук Л. В. Динамика содержания противостафилококковых и противостолбнячных антител в крови при внутримышечной пассивной иммунизации кроликов // Физиол. журн.—1985.—32, № 2.—С. 234—237.

Киев. ин-т гематологии и переливания крови МЗ УССР

Поступила 01.10.84

УДК 612.014.42:612.31

М. Ю. Клевец

ИЗУЧЕНИЕ ПРОВОДИМОСТИ ИОНОВ ПЛАЗМАТИЧЕСКОЙ МЕМБРАНОЙ СЕКРЕТОРНЫХ КЛЕТОК В СОСТОЯНИИ ПОКОЯ МЕТОДОМ ВНУТРИКЛЕТОЧНОГО ДИАЛИЗА

Метод внутриклеточного диализа [3] позволяет осуществлять полный контроль за градиентом концентраций ионов, проникающих через мембрану, фиксацию потенциала на мемbrane и точное измерение трансмембранных ионных токов. С помощью этого метода исследованы входящие и выходящие токи потенциал-зависимых каналов мембранны сомы нейронов моллюсков и позвоночных [2], а также токи хемочувствительных каналов [4, 5]. Мы попытались применить этот метод для изучения токов каналов утечки, которые, как известно, определяют суммарную проводимость мембрани в состоянии покоя и принимают участие в формировании размера потенциала покоя.

Исследовали секреторные клетки *Platynosus*, диаметр которых альбиноса режущего инструмента не разобщала клетки в такую быструю и необратимую, как железа и изолирование клеток которого взят из вымыселного калиевого, натриевого и внутриклеточных растворов.

Концентрация вещества

Вещество	Физиологический раствор
NaCl	136,9
KCl	5,36
CaCl ₂	1,76
MgCl ₂	0,49
MgSO ₄	0,46
Na ₂ HPO ₄	0,35
KH ₂ PO ₄	0,44
Декстроза	5,55
Сахароза	
K ₂ SO ₄	
CaSO ₄	
K ₂ HPO ₄	
Трис-PO ₄	
Трис-Cl	
Холин-хлорид	
CH ₃ COONa	

Измерение токов утечек клетки «сажали» на при включенном коммандно через пору и появление тока. Затем компенсировали утечку рицкеточную перфузию ради одного из ионов и заполнили концентрации данного иона. Утечки проведены при постепенной поляризации и контролировали с помощью осциллографа C1-18.

На рис. 1 представлена мембранный выходящий жгут на диализирующуюся бескалиевым раствором. Отмеченное строение раствором обусловило максимума примерно 10% бескалиевым раствором такого же отрезка

иркуляции антистолбнячных то повторные внутривенные ех животных увеличивают сутации, тогда как при повсина укорачиваются сроки гомологичных антистафилопроведенные в период сни- приводят к увеличению и удлинению времени их цир-вязано со скоростью их по-орными функциями антител.раженными преимущества-ногократном последователь-соких уровнях содержания

azarchuk

TAPHYLOCOCAL
INTRAVENOUSLY
ABBITS

antitetanic antitoxins (homologous reasing in the case of single and omologous antitoxins increase the ad prolong the period of their cir-dvantages over the corresponding

века в клинической практике //

кания противостафилококковых иышечной пассивной иммунизации
—237.

Поступила 01.10.84

ПЛАЗМАТИЧЕСКОЙ ОК В СОСТОЯНИИ ЧНОГО ДИАЛИЗА

зволяет осуществлять пол-ионов, проникающих через ване и точное измерение этого метода исследованы симых каналов мембранны, а также токи хемочувств-применить этот метод для известно, определяют сум-покоя и принимают уча-ся.

изол. журн., 1986, т. 32, № 2

Методика

Исследовали секреторные клетки слюнной железы личинки мотыля *Chironomus plumosus*, диаметр которых не превышал 340 мкм. Клетки изолировали с помощью мини-аторного режущего инструмента, так как трипснизация в сочетании с помешиванием не разобщала клетки в ткани железы. Кроме того, трипсин (0,5 мг/мл; pH 7,4) вызывал быструю и необратимую деполяризацию мембранны в среднем на 72 %. Препарирование желез и изолирование клеток осуществляли в физиологическом растворе (таблица) рецепт которого взят из вышедшей работы [6]. Состав растворов, применяемых при измерении калиевого, натриевого и хлорного токов утечки, представлен в таблице. pH вне- и внутриклеточных растворов поддерживали на уровне 7,2.

Концентрация веществ, входящих в состав растворов, применяемых для измерения трансмембранных токов утечки, ммоль/л

Вещество	Физиологический раствор	Растворы для измерения токов					
		калиевого		натриевого		хлорного	
		внеклеточный	внутриклеточный	внеклеточный	внутриклеточный	внеклеточный	внутриклеточный
NaCl	136,9						
KCl	5,36						
CaCl ₂	1,76						
MgCl ₂	0,49						
MgSO ₄	0,46	0,95					
Na ₂ HPO ₄	0,35	0,35					
KH ₂ PO ₄	0,44	0,44					
Декстроза	5,55	5,55	5,55	5,55	5,55	5,55	5,55
Сахароза		273,8			273,8		273,8
K ₂ SO ₄	3,57				3,57	3,23	
CaSO ₄	1,76				1,76	1,76	
K ₂ HPO ₄			97,43			0,35	
Трис-PO ₄				146,14	130,14		106,14
Трис-Cl						40,0	
Холин-хлорид							136,9
CH ₃ COONa						16,00	136,9

Измерение токов утечки проводили в следующей последовательности. Изолированные клетки «сажали» на диализирующую пору орудия сопротивлением 0,9—1,8 мОм при включенном командном импульсе ± 40 мВ длительностью 50 мс. Уменьшение тока через пору и появление емкостных токов свидетельствовало о присасывании клетки. Затем компенсировали утечку, выключали командный импульс, начинали вне- или внутриклеточную перфузию раствором, создающим трансмембранный градиент концентрации одного из ионов и записывали на КСП4 появление трансмембранного тока утечки. Когда ток достигал максимума, перфузировали клетку раствором, который снимал градиент концентрации данного иона, и записывали исчезновение тока. Все измерения токов утечки проведены при поддерживаемом потенциале —50 мВ, что близко к средней естественной поляризации мембранны этих клеток. Размер поддерживаемого потенциала контролировался с помощью универсального вольтметра В7-6, а присасывание клеток — осциллографа С1-18.

Результаты и их обсуждение

На рис. 1 представлена запись появления и исчезновения трансмембранного выходящего калиевого тока утечки. Клетка была «посажена» на диализирующую пору, когда внутреннюю перфузию осуществляли бескалиевым, а внешнюю — безнатриевым и бесхлорным растворами. Отмеченное стрелкой начало внутренней перфузии калиевым раствором обусловило появление выходящего тока, который достигал максимума примерно через 1,5 мин. Последующая внутренняя перфузия бескалиевым раствором привела к исчезновению этого тока в течение такого же отрезка времени. В измерениях, проведенных на 10 клет-

ках, площадь поверхности которых составляла $0,55 - 1,63 \cdot 10^{-3} \text{ см}^2$, средняя плотность калиевого тока оказалась соответствующей $(19,29 \pm 3,43) \cdot 10^{-6} \text{ А/см}^2$.

Измерение натриевого тока утечки осуществлялось при отсутствии калиевого и хлорного градиентов концентрации; внутриклеточный раствор содержал 16 ммол/л ионов натрия, что соответствует его естественной концентрации [7]. Внешняя перфузия раствором, содержащим 137,6 ммол/л ионов натрия, обусловила появление входящего тока, максимум которого устанавливался несколько медленнее (рис. 2), чем

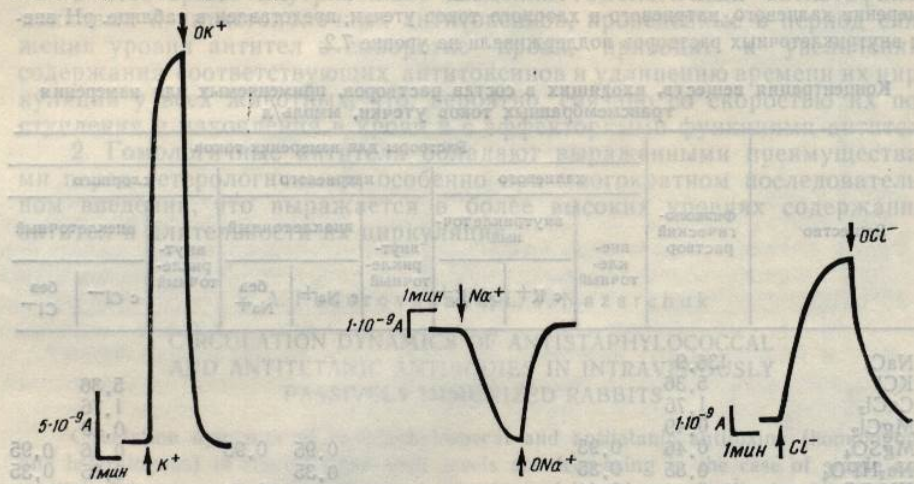


Рис. 1. Запись выходящего трансмембранных калиевого тока утечки:
↑K⁺ — начало внутренней перфузии клетки калиевым раствором и появления тока; ↓OK⁺ — начало внутренней перфузии бескалиевым раствором и исчезновения тока.

Рис. 2. Запись входящего трансмембранных натриевого тока утечки:
↑Na⁺ — начало внешней перфузии клетки натриевым раствором и появления тока; ↑ONa⁺ — начало внешней перфузии безнатриевым раствором и исчезновения тока.

Рис. 3. Запись выходящего трансмембранных хлорного тока утечки:
↑Cl⁻ — начало внешней перфузии клетки хлорным раствором и появления тока; ↓OCl⁻ — начало внешней перфузии бесхлорным раствором и исчезновения тока.

калиевого. Перфузия клетки извне вновь безнатриевым раствором приводила к исчезновению этого тока. Средняя плотность натриевого тока утечки соответствовала $(4,19 \pm 0,74) \cdot 10^{-6} \text{ А/см}^2$; $n=10$.

Хлорный ток утечки измеряли при отсутствии калиевого и хлорного градиентов. Во внутриклеточном растворе содержалась естественная концентрация ионов хлора (40 ммол/л). Перфузия клетки извне раствором с ионами хлора (146,76 ммол/л) обусловила появление выходящего по направлению к движению зарядов тока, максимум которого устанавливался также медленнее (рис. 3), чем калиевого. Хлорный ток утечки исчезал в ответ на повторную перфузию клетки извне бесхлорным раствором. Средняя плотность хлорного тока утечки составляла $(2,42 \pm 0,6) \cdot 10^{-6} \text{ А/см}^2$; $n=10$.

Известно, что трансмембранный ионный ток определяется ионной проводимостью мембраны и электродвижущей силой, источником которой служит разность между мембранным потенциалом и потенциалом равновесия для данного иона. Расчеты равновесных потенциалов по формуле Нернста показали, что при искусственно создаваемых нами градиентах концентрации ионов $E_K=-88$, $E_{Na}=+54$, $E_{Cl}=-33 \text{ мВ}$. Используя средние значения плотности токов, рассчитанные значения равновесных потенциалов и значение фиксированного потенциала (-50 мВ), находим, что $g_K=5 \cdot 10^{-4}$, $g_{Na}=0,4 \cdot 10^{-4}$ и $g_{Cl}=1,4 \times 10^{-4} \text{ См/см}^2$, а их соотношение $g_K:g_{Na}:g_{Cl}=1:0,08:0,28$.

Используя относительные ионные проводимости, вне- и внутриклеточные концентрации ионов калия, натрия и хлора, по формуле Гольд-

мана находим, что равенство -53 мВ . Это значение фиксированного потенциала утечки, и средним способом микроэлектродом ($n=70$) мы нашли, что в среднем на мембране. Равнодействующий потенциал и с вероятностью, электрогенерации которого в этих факторах [1].

Таким образом, мембрана секреторных клеток в Мембрана секреторных клеток хорошо проницаемое участие в полярных потенциалах по сравне-

A STUDY OF THE CHLORINERGIC MEMBRANE OF CHIRONOMUS

Potassium, sodium and chloride currents in a salivary gland of Chironomus. In dialysis and voltage-clamp techniques and $g_{Cl}=1,4 \cdot 10^{-4} \text{ S/cm}^2$ and I. Franko State University,

- Клевец М. Ю. Деяки ехірономуса // XI з'їзд Укр. фізіол. товариства. Кіровоград, 1981.
- Костюк П. Г., Крышталь О. А.: Наука, 1981.
- Крышталь О. А., Пидоплісний О. А.: Нейрофізіологічні проблеми // Нейрофізіологічні проблеми. Докл. АН ССР. — 1980.
- Крышталь О. А., Пидоплісний О. А.: Коркування сенсорних нервів ім. І. П. Павлова (Баку).
- Obaid A. L., Socolar S. J.: Electrogenesis in series-gated gates in series/ anion channels. — 1981.
- Palmer L. G., Civan M. I.: Chloride permeability in chironomid salivary gland. — 1981.

Львов. ун-т им. И. Франко

УДК 612.796.422

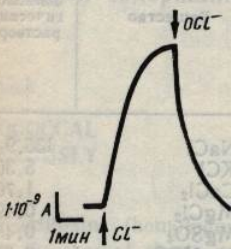
Т. А. Юркевич

ВЛИЯНИЕ ТРЕНИРОВОВАНИЯ НА БИОХИМИЧЕСКИЕ ПОКАЗАТЕЛИ КРОВИ У БЕБОТЫ ПО ИЗУЧЕНИЮ ВЛИЯНИЯ НА МОЛОДЫХ МОЛЮСКОВ

За последние 10 лет получены результаты изучения влияния тренировки на биохимические показатели крови у беботы по изучению влияния на молодых моллюсков.

Физиол. журн., 1986, т. 32, № 2

ла $0,55 - 1,63 \cdot 10^{-3}$ см², сред-
соответствующей $(19,29 \pm$



калиевого тока утечки:
ом и появления тока; \downarrow OK+ — начало
и исчезновения тока.

иатриевого тока утечки: $\text{Na}^+ + \text{O}_2 \rightarrow \text{ONa}^+$ —

хлорного тока утечки: и появления тока; \downarrow OC! — начало исчезновения тока.

натриевым раствором при плотности натриевого тока $m^2: n = 10$.

ствии калиевого и хлорного содержалась естественная рфузия клетки извне раствора, вызвала появление выходящего тока, максимум которого был калиевого. Хлорный ток из клетки извне бесхлорного тока утечки составляла

ток определяется ионной
ей силой, источником ко-
потенциалом и потенциа-
равновесных потенциалов
ственно создаваемых нами
 $E_{Na} = +54$, $E_{Cl} = -33$ мВ.
в, рассчитанные значения
кированного потенциала
 $g_{Na} = 0,4 \cdot 10^{-4}$ и $g_{Cl} = 1,4 \times$
 $= 1:0,08:0,28$.
имости, вне- и внутрикле-
хлора, по формуле Гольд-

изол. журн., 1986, т. 32, № 2

мана находим, что рассчитанная мембранные разность потенциалов составляет -53 мВ. Это значение удовлетворительно согласуется со значением фиксированного потенциала, при котором проводили измерения токов утечки, и средним значением потенциала покоя этих клеток. С помощью микроэлектродной техники отведения на большой выборке ($n=70$) мы нашли, что при рН 7,0 потенциал покоя этих клеток составляет в среднем $-57,7 \pm 1,6$ мВ, а снижение рН вызывает деполяризацию мембраны. Разница между рассчитанным значением мембранныго потенциала и средним значением потенциала покоя обусловлена, вероятно, электрогенным эффектом натрий-калиевого насоса, о наличии которого в этих клетках мы уже сообщали на основании других фактов [1].

Таким образом, как и в нервных и мышечных клетках, мембрана секреторных клеток в покое наиболее проницаема для ионов калия. Мембрана секреторных клеток, находящихся в состоянии покоя, довольно хорошо проницаема и для ионов натрия, которые принимают заметное участие в поляризации мембранны, снижая мембранные разность потенциалов по сравнению с калиевым равновесным потенциалом.

M. Yu. Klevets

A STUDY OF ION CONDUCTANCE BY PLASMA MEMBRANE OF SECRETORY CELLS AT REST BY THE METHOD OF INTRACELLULAR DIALYSIS

Potassium, sodium and chlorine transmembrane currents of leak of secretory cells in a salivary gland of Chironomus larva at rest were measured by the method of intracellular dialysis and voltage-clamp. It was established that $g_K = 0.4 \cdot 10^{-4}$, $g_{Na} = 0.4 \cdot 10^{-4}$ and $g_{Cl} = 1.4 \cdot 10^{-4}$ S/cm² and their ratio is $g_K : g_{Na} : g_{Cl} = 1 : 0.08 : 0.28$.

I. Franko State University, Lvov

- Клевець М. Ю. Деякі електрофізіологічні властивості клітин слинної залози личинки хірономуса // XI з'їзд Укр. фізіол. т-ва.— К. : Наук. думка, 1982.— С. 190—191.
 - Костюк П. Г., Крышталь О. А. Механизмы электрической возбудимости нервной клетки.— М. : Наука, 1981.— 203 с.
 - Крышталь О. А., Пидопличко В. И. Внутриклеточная перфузия гигантских нейронов улитки // Нейрофизиология.— 1975.— № 3.— С. 327—329.
 - Крышталь О. А., Пидопличко В. И. Рецептор протонов в мембране нервной клетки // Докл. АН СССР.— 1980.— 255, № 6.— С. 1494—1496.
 - Крышталь О. А., Коркушко А. О., Марченко С. М., Пидопличко В. И. Хемочувствительность сенсорных нейронов мlekопитающих // XIV съезд Всесоюз. физиол. о-ва им. И. П. Павлова (Баку 1983 г.).— М. : Наука, 1983.— Т. 1.— С. 52—53.
 - Obaid A. L., Socolar S. J., Rose B. Cell-to-cell channels with two independently regulated gates in series/ analysis of junctional conductance modulation by membrane potential, calcium and pH//J. Membrane Biol.—1983.—73, N 1.— P. 69—89.
 - Palmer L. G., Civan M. M. Distribution of Na^+ , K^+ and Cl^- between nucleus and cytoplasm in chironomid salivary gland cells // Ibid.—1977.—33, N 12.— P. 41—51.

Поступила 30.10.84

УДК 612.796.422

Т. А. Юримяэ, А. А. Виру, А. А. Нурмекиви,
К. М. Карельсон, М. Э. Линтси

ВЛИЯНИЕ 20-КИЛОМЕТРОВОГО БЕГА НА БИОХИМИЧЕСКИЕ ПОКАЗАТЕЛИ КРОВИ У ТРЕНИРОВАННЫХ И НЕТРЕНИРОВАННЫХ СТУДЕНТОВ

За последние 10 лет в некоторых работах [1, 12] представлены результаты изучения влияния продолжительного бега на биохимические показатели крови у бегунов. Однако почти полностью отсутствуют работы по изучению влияния длительного бега на указанные показатели у нетренированных молодых мужчин. Данная работа посвящена изу-